

Определены уравненные значения отметок точек съемочного обобщения в каждом квадрате, вычисляем превышения «речных» точек над ними так же, как это делается в тахеометрии. С учетом того, что точки находятся в пределах одного квадрата сетки, превышения находим по формуле

$$\Delta h' = H \frac{\Delta p}{p_c + \Delta p_1 + \Delta p_2 + \frac{\Delta p_1 \Delta p_2}{p_c}} \quad (19)$$

где $\Delta p = \Delta p_2 - \Delta p_1 = p_{отеч. 2} - p_c = p_{отеч. 2} - p_{отеч. 1}$, а средняя квадратическая погрешность этого значения, как указано выше, составляет около 5,6 мкм. Поэтому с учетом средней квадратической погрешности отметки точки съемочного обоснования и имеем в виду (11) и (13), получаем

$$m_{H'}^2 = m_{H_{исх}}^2 + m_{\Delta h'}^2 \quad \text{и} \quad m_{H'}^2 = \left(\frac{m_{\Delta h} \sqrt{n}}{2} \right)^2 + \left(\frac{H^2 m_{\Delta p}}{\sqrt{B}} \right)^2$$

Для $f = 75$ мм, $m_{\Delta p} = \pm 5,6$ мкм, $n = 9$ имеем

$$m_{H'} \approx \frac{H^2}{5500 B} \quad (20)$$

При $H : B = 4$

$$m_{H'} \approx \frac{H}{1400}$$

Таким образом, предложенная технология обработки снимков, полученных при короткодистанционной стереофотограмметрической съемке неметрическими фотокамерами, позволяет определить отметки точек исследуемой поверхности с погрешностями $H : 1400 - H : 2200$. При этом погрешности измерения высоты фоторафирования и положение начальной плоскости над объектом не оказывают существенного влияния на точность определения отметок.

Приведенные погрешности отметок удовлетворяют большому числу исследований, которые предполагают моделирование природных явлений. Однако, если задача исследований потребует более высокой точности, то ее можно достигнуть улучшением метрических характеристик снимков, повышением точности самих измерений, применением более длиннофокусных объективов и другими мерами.

Данная методика не требует использования сложного оборудования для съемки и обработки снимков и может быть применена в фотограмметрических исследовательских лабораториях.

Список литературы: 1. Гуткин В. Д. Определение координат точек водной поверхности при короткодистанционной стереофотограмметрической съемке любительскими фотокамерами. — Геология и фотограмметрия в горном деле, 1979, вып. 6. 2. Гуткин В. Д., Еремин В. В. Составление рельефного плана свободной поверхности потока по стереопарам любительских фотоснимков. — Геология, картография и аэрофотосъемка, 1977, вып. 25.

Статья поступила в редакцию 09. 11. 82

А. Д. ДОРОЖНИНСКИЙ, О. В. ТУМСКАЯ, М. Я. ГРИНЮК

УРАВНИВАНИЕ ФОТОТРАНГУЛЯЦИИ ИЗ НЕЗАВИСИМЫХ МОДЕЛЕЙ С УЧЕТОМ ФУНКЦИОНАЛЬНЫХ КООРДИНАТНЫХ СВЯЗЕЙ

В методе фототриангуляции из независимых моделей (назовем его в дальнейшем классическим) уравнивают пространственные фотограмметрические координаты X, Y, Z точек, полученные из построения отдельных моделей [3]. Эти величины чисто условно выступают в роли измеренных, что является определенной теоретической неточностью. Предложим улучшенный в теоретическом плане подход, полагая, что функциональные взаимосвязи между X, Y, Z и измеренными координатами x, y, x', y' известны и должны быть учтены. Теоретической основой предлагаемого способа являются положения, изложенные для некоррелированных наблюдений в [1, с. 349], а для коррелированных измерений — в [2]. Сформулируем задачу так: задан n -мерный вектор λ измерений, свободный от систематических ошибок; известна его корреляционная матрица R и весовая диагональная матрица P ; вычислено s значений функции

$$T = F(\lambda). \quad (1)$$

Необходимо найти уравненное значение вектора

$$\lambda' = \lambda + V, \quad (2)$$

причем должны быть удовлетворены m условия

$$\Phi(T', U') = 0, \quad (3)$$

где

$$T' = T + \Delta T; \quad (4)$$

$$U' = U + \Delta U; \quad (5)$$

T', U' — соответственно уравненные значения функций и дополнительных неизвестных.

Решая поставленную задачу под условием

$$U^T R V = \min, \quad (6)$$

где

$$\bar{R} = P^{-1/2} R^{-1} P^{-1/2}. \quad (7)$$

После линеаризаций (3) и (1) составим функцию Лагранжа

$$\Psi = U^T \bar{R} V - 2K^T (A \bar{a} V + B \Delta U + W) \quad (8)$$

и получим систему уравнений

$$A Q A^T K + B \Delta U + W = 0, \quad (9)$$

$$B^T K = 0,$$

$$\text{где } Q = \bar{\alpha} \bar{R} \bar{\alpha}^T; \quad (10)$$

$\bar{\alpha} = dF/d\alpha$ — совокупность всех частных производных; A, \bar{B} — соответственно частные производные;

$$A = d\Phi/dT; \quad B = d\Phi/dU; \quad (11)$$

K — вектор коррелят; ΔU — вектор поправок к дополнительным неизвестным

$$W = \Phi(T, U) \quad (12)$$

— вектор свободных членов.

Применим изложенные вкратце теоретические основы коррелятного способа выравнивания функций измеренных величин совместно с дополнительными неизвестными для фотограммугляциии независимых моделей.

Пусть в произвольно выбранной пространственной прямоугольной системе координат с началом в точке S_{π} (левом центре фотографирования) построена по паре снимков модель местности. Координаты правого центра фотографирования равны X_0, Y_0, Z_0 , а для точек модели обозначим их X, Y, Z . Функциональную взаимосвязь измеренных и пространственных координат описываем известными уравнениями:

$$T = \begin{bmatrix} X \\ Y \\ Z \end{bmatrix} = N \cdot \begin{bmatrix} a_1 & a_2 & a_3 \\ b_1 & b_2 & b_3 \\ c_1 & c_2 & c_3 \end{bmatrix} \cdot \begin{bmatrix} x \\ y \\ -f \end{bmatrix} = N \cdot M \begin{bmatrix} x \\ y \\ -f \end{bmatrix}, \quad (13)$$

где N — масштабный множитель, определяемый по формуле

$$N = \left\{ \frac{(Y_0 Z_0 - Z_0 Y_0)^2 + (X_0 Z_0 - Z_0 X_0)^2 + (X_0 Y_0 - Y_0 X_0)^2}{(Y_1 Z_0 - Z_1 Y_0)^2 + (X_1 Z_0 - Z_1 X_0)^2 + (X_1 Y_0 - Y_1 X_0)^2} \right\}^{1/2}, \quad (14)$$

$$\begin{bmatrix} X_1 \\ Y_1 \\ Z_1 \end{bmatrix} = M_n \begin{bmatrix} x \\ y \\ -f \end{bmatrix}, \quad \begin{bmatrix} X_2 \\ Y_2 \\ Z_2 \end{bmatrix} = M_n \begin{bmatrix} x' \\ y' \\ -f \end{bmatrix}. \quad (15)$$

Здесь x, y — измеренные координаты на левом снимке; x', y' — соответственно на правом снимке; M_n, M_n — матрицы направляющих косинусов, вычисленные по углам наклона левого и правого снимков; f — фокусное расстояние. Поскольку уравнению (1) соответствует (13), то матрица a_i для i -й точки модели имеет вид

$$a_i = \begin{bmatrix} \frac{\partial X}{\partial x} & \frac{\partial X}{\partial y} & \frac{\partial X}{\partial x'} & \frac{\partial X}{\partial y'} \\ \frac{\partial Y}{\partial x} & \frac{\partial Y}{\partial y} & \frac{\partial Y}{\partial x'} & \frac{\partial Y}{\partial y'} \\ \frac{\partial Z}{\partial x} & \frac{\partial Z}{\partial y} & \frac{\partial Z}{\partial x'} & \frac{\partial Z}{\partial y'} \end{bmatrix}. \quad (16)$$

Дифференцирование (13) — (15) дает искомые коэффициенты, которые в виду их громоздкости здесь не приведены. Структура матрицы a для всех точек стереопары такова, что матрица носит блочнодиагональный характер

$$a = \begin{bmatrix} a_1 & & & \\ & a_2 & & \\ & & \dots & \\ & & & a_n \end{bmatrix}, \quad (17)$$

где каждый компонент имеет в соответствии с (16), размерность 3×4 . Матрица a , составленная для маршрута, также носит блочнодиагональный характер

$$\bar{\alpha} = \begin{bmatrix} a_{11} & & & \\ & \dots & & \\ & & \dots & \\ & & & a_{kk} \end{bmatrix}, \quad (18)$$

где 1, II, ..., K — номера стереопар.

Уравнению (3) соответствует известная взаимосвязь пространственных координат в фотограмметрической и геодезической системах:

$$\begin{bmatrix} X \\ Y \\ Z \end{bmatrix} = M^T(\alpha_0 \omega_0 x_0) \begin{bmatrix} X_G - X_H \\ Y_G - Y_H \\ Z_G - Z_H \end{bmatrix} \cdot t, \quad (19)$$

где $X_H, Y_H, Z_H, \alpha_0, \omega_0, x_0, t$ — элементы геодезического ориентирования модели; X_G, Y_G, Z_G — геодезические координаты точки модели.

Составим матрицу B_i для i -й модели:

$$B_i = \begin{bmatrix} \frac{\partial X}{\partial X_H} & \frac{\partial X}{\partial Y_H} & \frac{\partial X}{\partial Z_H} & \frac{\partial X}{\partial \alpha_0} & \frac{\partial X}{\partial \omega_0} & \frac{\partial X}{\partial x_0} & \frac{\partial X}{\partial t} & \frac{\partial X}{\partial X_G} & \frac{\partial X}{\partial Y_G} & \frac{\partial X}{\partial Z_G} \\ \frac{\partial Y}{\partial X_H} & \frac{\partial Y}{\partial Y_H} & \frac{\partial Y}{\partial Z_H} & \frac{\partial Y}{\partial \alpha_0} & \frac{\partial Y}{\partial \omega_0} & \frac{\partial Y}{\partial x_0} & \frac{\partial Y}{\partial t} & \frac{\partial Y}{\partial X_G} & \frac{\partial Y}{\partial Y_G} & \frac{\partial Y}{\partial Z_G} \\ \frac{\partial Z}{\partial X_H} & \frac{\partial Z}{\partial Y_H} & \frac{\partial Z}{\partial Z_H} & \frac{\partial Z}{\partial \alpha_0} & \frac{\partial Z}{\partial \omega_0} & \frac{\partial Z}{\partial x_0} & \frac{\partial Z}{\partial t} & \frac{\partial Z}{\partial X_G} & \frac{\partial Z}{\partial Y_G} & \frac{\partial Z}{\partial Z_G} \end{bmatrix}. \quad (20)$$

Конкретный вид частных производных также опустим из-за громоздкости. Структура матрицы B для одной стереопары показана на рис. 1.

Переходя к изучению структуры матрицы \bar{B} для маршрута, необходимо иметь в виду, что для связующих точек, расположен-

ных в смежных i и $(i+1)$ стереопарах, мы должны получить одни и те же геодезические координаты, т. е. частные производные для них должны находиться в одном столбце. Такое же правило применимо для центров проекции, поскольку

$$X_{S_{ij}} = X_{S_{ij+1}}; \quad Y_{S_{ij}} = Y_{S_{ij+1}}; \quad Z_{S_{ij}} = Z_{S_{ij+1}}$$

Графическая интерпретация матрицы \bar{V} маршрута из трех стереопар с тремя связующими точками показана на рис. 2.

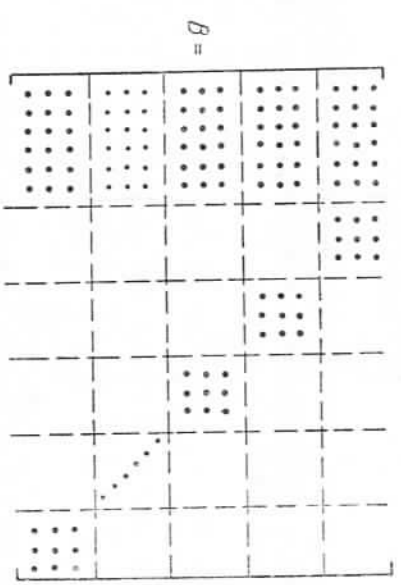


Рис. 1. Структура матрицы V для одной стереопары.

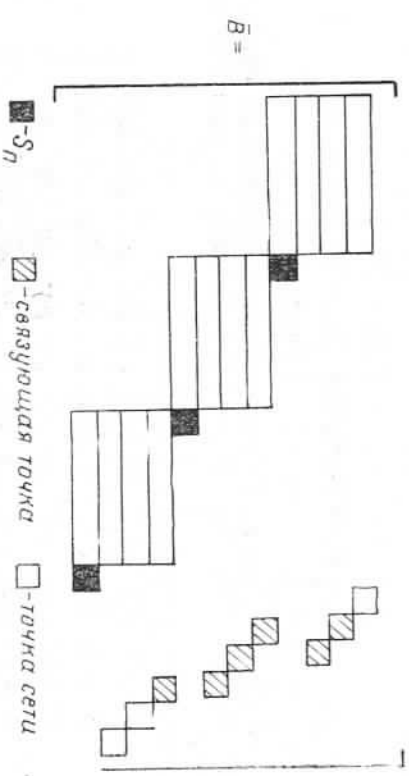


Рис. 2. Структура \bar{V} для маршрута из трех стереопар.

Реализация предложенного метода уравнивания выполнена на ЭС ЭВМ, для чего составлена программа на языке Фортран-IV. После построения одиночных моделей происходит формирование матриц \bar{a} и \bar{B} , вычисление весовой матрицы Q , составление нормальных уравнений и решение системы. Нахождение уравненного вектора U^i ведется итеративным путем до стабилизации средних квадратических ошибок M_x, M_y, M_z единицы веса для простран-

ственных координат, полученных в двух последовательных итерациях. После завершения уравнивания производится оценка точности по элементам обратной матрицы коэффициентов нормальных уравнений и составляется известными приемами нормированная корреляционная матрица. На печать выданы каталог координат и элементы внешне ориентирования, а также результаты оценки точности фоториангуляции.

Экспериментальная сравнительная проверка метода проведена в два этапа: по макетным снимкам и по аэрофотоснимкам трех залетов с параметрами, приведенными в таблице. Измерения выполнены на стереокомпараторе СК-1818 одним приемом, количество точек в стереопаре — 10—12, количество связующих точек в каждой стереопаре — 3. Сущность сети проводилось четырьмя методами: связок; разработанным независимых моделей; классическим независимых моделей; частично зависимых моделей. При этом принято допущение, что измеренные величины некоррелированы и равнозначны.

Оценка точности методов фоториангуляции

Наименование метода фоториангуляции	Ошибка в координатах, м			Относительная m_z/H	К-во контр. точек	Оценка ср. кв. ошибок, м			Количество итераций
	m_x	m_y	m_z			σ_x	σ_y	σ_z	

Связок разработанный независим. моделей	Длина сети $n=4, f=350$ мм, $H=1700$ м, к-во опознаков=6							
	0,10	0,16	0,30					
1:6000	9	0,04	0,06	0,11				
Классический независим. моделей	0,10	0,18	0,30	1:6000	9	0,04	0,07	0,11
Частично зависим. моделей	0,10	0,27	0,30	1:6000	9	0,04	0,10	0,11
	0,10	0,15	0,30	1:6000	9	0,04	0,06	0,11

Связок разработанный зав. мод. Классический независим. моделей	Длина сети $n=4, f=100$ мм, $H=200$ м, к-во опознаков=6							
	0,11	0,05	0,10					
1:2000	7	0,04	0,01	0,04				
Классический независим. моделей	0,08 <td>0,11 <td>0,12</td> <td>1:1667</td> <td>7</td> <td>0,03</td> <td>0,04</td> <td>0,05</td> </td>	0,11 <td>0,12</td> <td>1:1667</td> <td>7</td> <td>0,03</td> <td>0,04</td> <td>0,05</td>	0,12	1:1667	7	0,03	0,04	0,05
Частично зависим. моделей	0,08 <td>0,07 <td>0,11</td> <td>1:1818</td> <td>7</td> <td>0,03</td> <td>0,03</td> <td>0,04</td> </td>	0,07 <td>0,11</td> <td>1:1818</td> <td>7</td> <td>0,03</td> <td>0,03</td> <td>0,04</td>	0,11	1:1818	7	0,03	0,03	0,04
	0,06 <td>0,03 <td>0,04</td> <td>1:5000</td> <td>7</td> <td>0,03</td> <td>0,01</td> <td>0,02</td> </td>	0,03 <td>0,04</td> <td>1:5000</td> <td>7</td> <td>0,03</td> <td>0,01</td> <td>0,02</td>	0,04	1:5000	7	0,03	0,01	0,02

Связок разработанный незав. мод. Классический независим. моделей	Длина сети $n=4, f=100$ мм, $H=200$ м, к-во опознаков=4							
	0,09	0,05	0,19					
1:1053	9	0,03	0,01	0,06				
Классический независим. моделей	0,07 <td>0,10 <td>0,14</td> <td>1:1429</td> <td>9</td> <td>0,02</td> <td>0,03</td> <td>0,05</td> </td>	0,10 <td>0,14</td> <td>1:1429</td> <td>9</td> <td>0,02</td> <td>0,03</td> <td>0,05</td>	0,14	1:1429	9	0,02	0,03	0,05
Частично зависим. моделей	0,08 <td>0,07 <td>0,11</td> <td>1:1818</td> <td>9</td> <td>0,02</td> <td>0,02</td> <td>0,04</td> </td>	0,07 <td>0,11</td> <td>1:1818</td> <td>9</td> <td>0,02</td> <td>0,02</td> <td>0,04</td>	0,11	1:1818	9	0,02	0,02	0,04
	0,04 <td>0,04 <td>0,09</td> <td>1:2222</td> <td>9</td> <td>0,01</td> <td>0,01</td> <td>0,03</td> </td>	0,04 <td>0,09</td> <td>1:2222</td> <td>9</td> <td>0,01</td> <td>0,01</td> <td>0,03</td>	0,09	1:2222	9	0,01	0,01	0,03

Как следует из первого эксперимента, методы связок, частично зависящих моделей и разработанный способ уравнивания дали практически одинаковые результаты. Результаты определения ординат точек классическим методом в 1,7 раза хуже по сравнению с упомянутым. Следует особо подчеркнуть, что использованный материал обладал высокими метрическими показателями и distortion не превышала 0,01 мм по всему полю снимка.

Второй и третий эксперименты проведены на снимках с невысокими метрическими показателями: шаг изображения достигал 0,05 мм, а дисторсия объектива на краю снимка равна 0,035 мм. Это обстоятельство существенно повлияло на точность фототриангуляции. Метод связок и оба метода независимых моделей оказались практически равноточными и в значительной мере уступили методу частично зависящих моделей с исключением деформации сети по полному второй степени. В этих условиях метод связок (эксперимент 3) дал наилучшую точность определения высот; подтвержден еще раз известный вывод о том, что уравнивание сетей на основе условия коллинеарности целесообразно при использовании высококондиционных снимков.

Таким образом, поставленный эксперимент позволяет сделать частный вывод о том, что классический метод фототриангуляции из независимых моделей целесообразно заменить разработанным, если ведется обработка снимков с высокими метрическими показателями. В таком случае разработанный способ и метод связок практически равноточны.

Список литературы: 1. *Большаков В. Д., Гайдаев П. А.* Теория математической обработки геодезических измерений. — М.: Недра, 1977. 2. *Дорожников А. Д., Гринюк М. Ю.* Уравнивание функций коррелированных измерений. — Геодезия, картография и аэрофотогеодезия, 1980, вып. 30. 3. *Лобанов А. Н., Кузнецова Ш. Е., Любомировский П. С.* Аналитические методы фотограмметрии. — В кн.: Итоги науки и техники. Геодезия и аэрофотогеодезия. М., 1982, т. 20.

Статья поступила в редакцию 20.05.83

СОДЕРЖАНИЕ

ГЕОДЕЗИЯ

<u>Буткевич А. В., Яковинич Н. Н.</u> Решение обратной геодезической задачи с помощью изображения эллипсоида на шаре с минимальными искажениями	3
<u>Виленицкий В. А.</u> Оценка точности азимутального ряда	8
<u>Васиско С. Г., Эбдолоцкий Ф. Д.</u> Учет вертикальной рефракции по колебаниям изображений визирных целей в полярном районе	16
<u>Болжанян С. Д.</u> Уравнивание геодезических сетей методом L_p -оценки	20
<u>Воловецкий Б. И.</u> Определение расстояния и азимута прихода волны при изучении спектральных характеристик поверхности сейсмических волн	23
<u>Гонимид А. В.</u> О точности детальной разбивки круговой кривой способом угловой засечки	28
<u>Девятириков А. Д., Дербал А. И.</u> О применении радиоприемников при съемке подземных коммуникаций	32
<u>Карицлов В. Г.</u> О влиянии ошибок исходных пунктов на точность преобразования пространственных прямоугольных координат	36
<u>Кметко Н. Н., Пандуа И. С., Литвинский В. О.</u> Влияние электромагнитного поля ЛЭП на результаты измерения зенитных расстояний	42
<u>Костельская Я. М.</u> Учет исходных дирекционных углов при оценке поперечных сдвигов пунктов трилатерационных сетей	45
<u>Куневский И. Н.</u> О точности отслеживания звезд экваториальной платформой камеры АФУ-75	47
<u>Политарев Н. А., Переченкин А. А.</u> Применение χ^2 -критерия для построения критической области многомерных случайных векторов невязок и смещений точек	51
<u>Магизский Б. Ф.</u> О Лапласовском обосновании метода наименьших квадратов	59
<u>Марченко А. Н.</u> О построении ковариационной функции аномального поля	66
<u>Марьев М. И., Гудз И. Н.</u> О вычислении угловений отвеса и высот квазигеоида во втором приближении	75
<u>Мещеряков Г. А.</u> О представлении потенциала планеты суммой потенциалов плоских слоев	79
<u>Монин И. Ф.</u> К теории двухгруппового уравнивания коррелированных величин	86
<u>Перович Л. Н., Лисевич М. Ф., Маркиса В. М.</u> О точности геометрического нивелирования в газотурбинных лезах	90
<u>Рудый Р. М.</u> К анализу рельефа местности	93
<u>Сидобитов И. Е., Строчков В. С., Шевчук П. М., Бондарь А. Л.</u> О современных вертикальных движениях земной коры вдоль трассы Тернополь—Курск	98
<u>Третяк К. Р.</u> Оптимизация проектирования схем измерений в инженерно-геодезических сетях	102
<u>Фадеевский Ю. Л.</u> Основные этапы геодезических измерений в строительном производстве и некоторые пути их автоматизации	111